

**КОНКУРЕНЦИЯ АНТИФЕРРОМАГНЕТИЗМА
И СВЕРХПРОВОДИМОСТИ В $RBa_2Cu_3O_{6+x}$ (R = Lu, Tm)**

A.H.Лавров¹), Л.П.Козеева

Институт неорганической химии СО РАН
630090 Новосибирск, Россия

Поступила в редакцию 24 августа 1995 г.

Экспериментально исследован переход антиферромагнетик–сверхпроводник в монокристаллах $LuBa_2Cu_3O_{6+x}$ при плавном увеличении концентрации носителей тока. Показано, что сверхпроводящее состояние конкурирует с трехмерным магнитным упорядочением, сопровождающимся частичной дилектризацией системы.

Общим свойством всех купратных высокотемпературных сверхпроводников (ВТСП) является наличие в их структуре одной или нескольких CuO_2 -плоскостей, с которыми обычно связывают сверхпроводящее состояние. Роль остальных структурных элементов, согласно модели переноса заряда [1], состоит в обеспечении требуемого уровня электронного (дырочного) допирования сверхпроводящих CuO_2 -плоскостей. Соединения $RBa_2Cu_3O_{6+x}$ вызывают особый интерес, благодаря необычной ступенчатой зависимости их физических свойств от содержания кислорода x . Зависимость $T_c(x)$ демонстрирует два плато при 60 К и 90 К и резкие области перехода от 0 до 60 К при $x \approx 0.4 - 0.5$ и от 60 К до 90 К при $x \approx 0.7 - 0.8$ [1, 2]. Эти особенности обычно объясняют [1] немонотонной зависимостью концентрации носителей в CuO_2 -плоскостях от содержания кислорода.

Область зарождения сверхпроводимости имеет особое значение для понимания природы ВТСП. Исследование эволюции физических свойств непосредственно вблизи порога появления сверхпроводимости может дать информацию о механизмах, определяющих ее возникновение, и позволит проверить существующие представления о корреляции T_c с концентрацией носителей.

В данной работе проведены прецизионные исследования анизотропной проводимости монокристаллов $RBa_2Cu_3O_{6+x}$ (R = Lu, Tm) в области содержания кислорода вблизи фазовой границы антиферромагнетик–сверхпроводник (АФМ–СП). Методы выращивания кристаллов, подготовки образцов и измерения компонент сопротивления описаны в работе [3]. Выдержка кристаллов при комнатной температуре выполнялась в атмосфере чистого гелия.

Согласно представлениям, развитым в работе [1], носители заряда не поступают в CuO_2 -плоскости вплоть до содержания кислорода $x \approx 0.4$, при дальнейшем увеличении x концентрация носителей n скачкообразно увеличивается. Считается, что возникновение сверхпроводимости совпадает с появлением носителей в CuO_2 -плоскостях [1]. Однако наличие особенностей в зависимости $n(x)$ обязательно должно проявляться на кинетических характеристиках. В частности, можно было бы ожидать скачкообразного изменения проводимости σ и коэффициента Холла R_H при увеличении x выше пороговой концентрации ~ 0.4 , что экспериментально не наблюдается [3, 4]. Измерения, выполненные

¹)e-mail: lavrov@casper.che.nsk.su

на монокристалле $TmBa_2Cu_3O_{6+x}$, показали (рис.1), что в области содержания кислорода $0.29 \leq x \leq 0.60$ величина проводимости вдоль ab -плоскостей σ_{ab} изменяется плавно и монотонно и не демонстрирует существенных особенностей при переходе к сверхпроводящим составам. Отметим, что увеличение содержания кислорода x от ≈ 0.37 до $0.5-0.6$, приводящее к увеличению T_c от 0 до ≈ 55 К, сопровождается лишь двухкратным увеличением проводимости σ_{ab} (280 К), см. рис.1. Возникновение сверхпроводимости только при достаточно большой плотности носителей n свидетельствует о существовании при меньшем n (меньшем содержании кислорода) механизма, ее подавляющего.

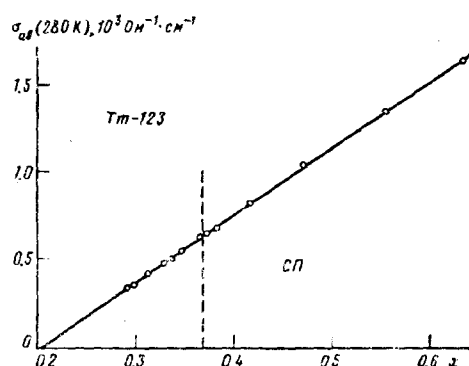


Рис.1. Зависимость проводимости $\sigma_{ab}(280$ К) монокристалла $TmBa_2Cu_3O_{6+x}$ от содержания кислорода x . Штриховая линия разделяет области сверхпроводящих и несверхпроводящих составов

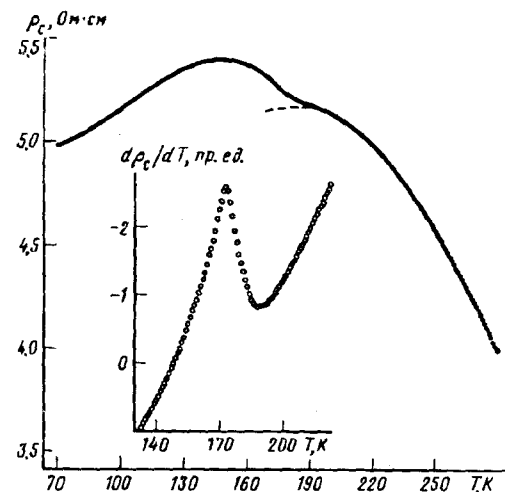


Рис.2. Температурная зависимость сопротивления ρ_c монокристалла $LuBa_2Cu_3O_{6+x}$ ($x \approx 0.29$). Штриховой линией показана качественная экстраполяция высокотемпературной зависимости. На вставке приведена температурная зависимость производной $d\rho_c/dT$ в области аномалии (для удобства восприятия ось координат на вставке направлена вниз)

Исследования несверхпроводящих составов показали, что при температуре АФМ упорядочения T_N наблюдается значительная аномалия межплоскостного сопротивления ρ_c [3]. На рис.2 изображена типичная температурная зависимость $\rho_c(T)$, полученная для монокристалла $LuBa_2Cu_3O_{6+x}$ при $x \approx 0.29$. Видно, что при уменьшении температуры ниже 170–180 К сопротивление ρ_c скачкообразно увеличивается, что указывает на частичную диэлектризацию системы. Аномалия производной $d\rho_c/dT$ имеет характерный для такого рода фазовых переходов вид отрицательного λ -пика, см. вставку на рис.2. Механизмы проводимости в сильно коррелированных системах, к которым относятся соединения $RBa_2Cu_3O_{6+x}$ (в особенности при малых уровнях дегидратации), изучены недостаточно, что не позволяет сделать детального анализа аномалии сопротивления. Тем не менее, в общем виде можно сделать вывод, что установление дальнего магнитного порядка приводит к существенным изменениям энергетического спектра квазичастиц, определяющих перенос заряда.

Известно, что ближний АФМ порядок в CuO_2 -плоскостях присутствует в сверхпроводящих составах [5] и взаимодействие с АФМ корреляциями рассматривается как один из возможных механизмов ВТСП. Однако, возможно, что именно установление дальнего АФМ порядка в CuO_2 -плоскостях и вызванная им частичная диэлектризация системы являются причиной подавления сверхпроводимости при $x < 0.4$. Более определенную информацию о характере взаимодействия антиферромагнетизма и сверхпроводимости в $\text{RBa}_2\text{Cu}_3\text{O}_{6+x}$ можно получить, исследовав детали перехода АФМ-СП и взаимного расположения АФМ и СП областей на фазовой χ - T -диаграмме. В литературе приводятся достаточно противоречивые данные о расположении границ АФМ и СП фаз, см., например, работы [2, 6, 7]. Отсутствие детальной информации связано с тем, что обычные методы приготовления и обработки образцов ВТСП, включающие изменение катионной и анионной стехиометрии, позволяют производить только дискретные изменения их свойств с относительно большим шагом. В этой ситуации перспективным представляется использованием достаточно хорошо изученного к настоящему времени явления низкотемпературного упорядочения кислорода [8–10]. Локальное упорядочение кислорода, происходящее в результате выдержки закаленных образцов при температурах вблизи комнатной, приводит к монотонному увеличению концентрации дырок в CuO_2 -плоскостях [8–10]. Это явление предоставляет уникальную возможность плавного воздействия на свойства образца.

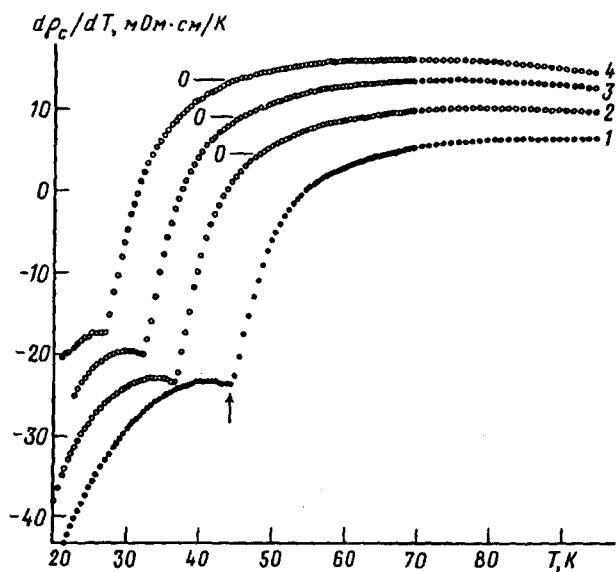


Рис.3. Температурные зависимости производной $d\rho_c/dT$, полученные для монокристалла $\text{LuBa}_2\text{Cu}_3\text{O}_{6+x}$ ($x \approx 0.34$). Серии измерений были проведены сразу после закалки образца (•) и после различных времен выдержки при комнатной температуре (○) вплоть до 5 дней (кривая 4). Для удобства кривые 2–4 смещены (для каждой кривой указана нулевая отметка)

Рис.3 иллюстрирует эволюцию свойств монокристалла $\text{LuBa}_2\text{Cu}_3\text{O}_{6+x}$ ($x \approx 0.34$) в процессе выдержки при комнатной температуре. Увеличение концентрации носителей в CuO_2 -плоскостях, вызванное упорядочением кислорода, приводит к подавлению АФМ упорядочения, что проявляется в монотонном смещении отрицательного λ -пика на кривой $d\rho_c/dT$ в сторону низких температур. Подобное уменьшение температуры Нееля при низкотемпературной выдержке образцов наблюдалось для всех исследованных АФМ составов. При

этом форма аномалии не изменяется, см. рис.3, что свидетельствует о том, что образец остается однородным.

Использование эффектов кислородного упорядочения позволило нам наблюдать, как происходит фазовый переход от трехмерного антиферромагнитного упорядочения к сверхпроводящему состоянию в монокристаллах $\text{RBa}_2\text{Cu}_3\text{O}_{6+x}$ при плавном увеличении концентрации носителей. Для кристалла $\text{LuBa}_2\text{Cu}_3\text{O}_{6+x}$ было подобрано содержание кислорода в непосредственной близости к границе области АФМ составов, $x \approx 0.36$. При этом содержании кислорода кристалл имел в закаленном состоянии температуру Нееля, определенную по положению пика на кривой $d\rho_c/dT$, $T_N = 27 - 28 \text{ K}$ (рис.4, черные точки). Последующая выдержка кристалла при комнатной температуре вызвала переход АФМ-СП, и после 5 дней выдержки T_c достигла 10 K (рис.4, светлые точки). Подчеркнем, что все качественные изменения, — уменьшение T_N ; смена типа основного состояния; рост T_c до 10 K , — происходят при незначительном изменении транспортных характеристик. Полный масштаб изменения сопротивления ρ_c (50 K) составляет всего $20 - 25\%$ (изменение σ_{ab} (280 K) еще меньше — $12 - 15\%$). Таким образом, подавление дальнего АФМ порядка немедленно приводит к появлению сверхпроводимости, что свидетельствует о том, что именно их конкуренция определяет порог возникновения сверхпроводимости.

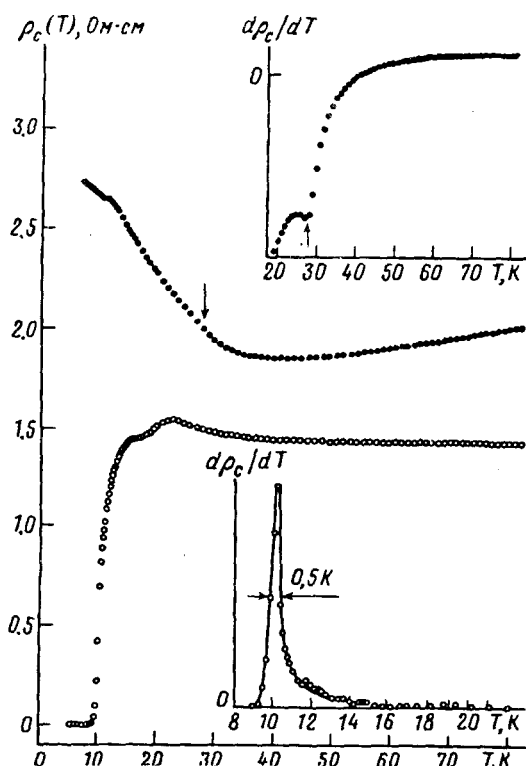


Рис.4. Температурные зависимости сопротивления ρ_c монокристалла $\text{LuBa}_2\text{Cu}_3\text{O}_{6+x}$ ($x \approx 0.36$). Данные были получены сразу после закалки (●) и после 5 дней выдержки при комнатной температуре (○). На вставках показаны температурные зависимости производных

Работа поддерживается Научным советом по ВТСП и выполнена в рамках проекта 93037 Российской государственной программы "Высокотемпературная сверхпроводимость".

-
1. R.J.Cava, A.W.Hewat, E.A.Hewat et al., *Physica C* **165**, 419 (1990).
 2. J.M.Tranquada, A.H.Moudden, A.I.Goldman et al., *Phys. Rev. B* **38**, 2477 (1988).
 3. A.N.Lavrov and L.P.Kozeeva, *Physica C* **248**, 365 (1995); *ibid.* (1995), to be published.
 4. H.-I.Yoo, H.-S.Choi, *J. Am Ceram. Soc.* **75**, 2707 (1992).
 5. A.P.Kampf, *Phys. Rep.* **249**, 219 (1994).
 6. C.Picard and P.Gerdanian, *Solid State Commun.* **87**, 775 (1993).
 7. L.Rebelsky, J.M.Tranquada, G.Shirane et al., *Physica C* **180**, 197 (1989).
 8. B.W.Veal, A.P.Paulikas, H.You et al., *Phys. Rev. B* **42**, 6305 (1990).
 9. G.V.Uimin, V.F.Gantmakher, A.M.Neminsky et al., *Physica C* **192**, 481 (1992).
 10. I.N.Kuropatytnik and A.N.Lavrov, *Physica C* **197**, 47 (1992); A.N.Lavrov, *Physica C* **216**, 36 (1993).